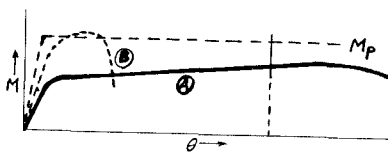


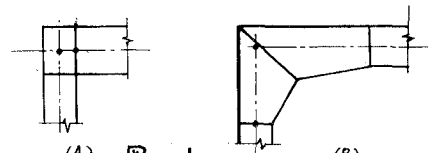
## II-32 ラーメン隅角部に関する研究

○ 東京大学 正員 奥村敏恵  
 首都高速 シ 王野治光  
 宮地鉄工 シ 村上卓爾

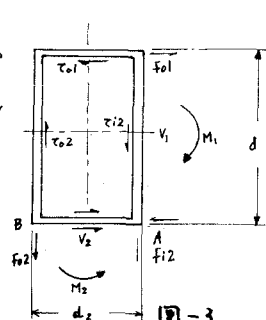
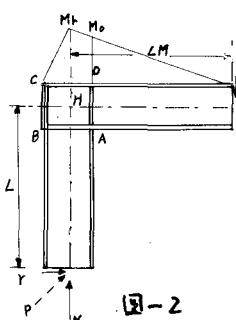
ラーメン隅角部に関する研究は從来多く見られ、既にすべてが解決されているものと考えていた。しかし実際に設計して見ると尚多くの疑問点があることがわかつた。本研究は首都高速道路公団の高架橋檻脚の設計に関連して行った実物実験の考察を中心とする一見解を述べたものである。アーチカ Lehigh 大学の prof. L. S. Beedle は steel frame の塑性設計に関連した研究の内 Wide flange beam を使用したラーメン隅角構造の実験を行っている。その大要は図-1 に示すものである。即ち(B)のように構造ではその極限耐力は塑性モーメント  $M_p$  に匹敵する大きさと示され、塑性モーメントを維持するため十分な回転容量をもつまい。A 形式は回転容量は十分であるが、塑性モーメントに達しまい。この原因として隅角部の剪断応力による崩壊と同時に考慮する必要があり、それを満足する条件を見出すことが問題となつてゐるが、(A)形式のものが構造条件としてすぐれていることを述べている。



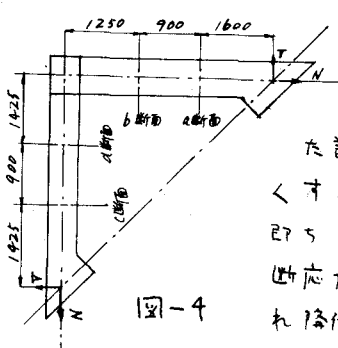
このようにまことに直角に折れる隅角形式を採用することに定め、実験によつて吟味することとした。



さて從来荷重は剪断力により支承につながり、現象として梁が曲がるモーメントを受けることは明確なことであり、普通の柱では腹板にスチフナーをとりつけ、屋根まわりに十分剪断力に耐える構造にしている。このことか特に隅角部のよじ曲がるモーメントの作用方向を変



える剪断力の處置に適用する場合、そのままの形でよいとは問題となる。このよじ曲げの角部の腹板の寸法を定める一つの提案として prof. Beedle は次のよじ曲げ假定に基づいた計算結果より(1)式によつて  $M_{k(z)}$ ,  $M_{k(\theta)}$  を計算し、两者を等しくする条件を導いてやうにしている。



即ち (a) 腹板内、剪断応力は一様とする。(b) 降伏條件は最大剪断応力は從うせんとする。従つて  $\tau_y = \sigma_y / 2$ ,  $\tau_s, \sigma_s$  はそれぞれ降伏時の剪断応力、直応力を示す。(c) 腹板には剪断応力のみ

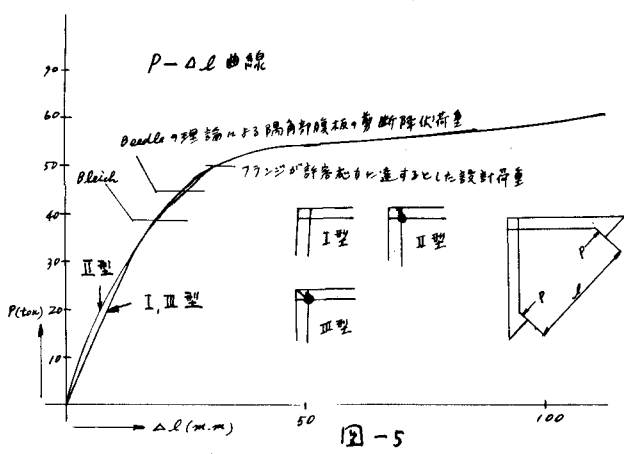


図-5

は、 $M_{k(\sigma)} = \sigma_2 \sqrt{\left(1 - \frac{A_1}{A_2} + \frac{1}{A_2 L}\right)(I_a) S_2}$  また  $\sigma_2 = A_2 / h$  腹板高さの 2 乗の部材の断面係数、断面積を示す。この条件を意味するため、図-4 に示す試験体 3 種類がある。特徴は溶接箱形であり、その内 2 つは斜めダイヤフラムをもつて、1 つは斜めダイヤフラムを入れた。支柱隅角部に角材を挿入したものと II 型と名づけた。荷重間隔 L の変化  $\Delta l$  に着目すると図-5 の結果となる。明らかに腹板の剪断応力による降伏が回転能の増加によって支えられたよう、Bleich の式よりも直応力と極物線分布とした Bleich の式の方が正しい。しかも斜めダイヤフラム、強固な角材の存在は何等寄与していないことがわかった。腹板の剪断応力による降伏條件より、腹板の厚さ一定とした際の式によるとよいかわかった。

$$M_{k(\sigma)} = M_{k(\sigma_1)} \times 0.9.$$

剪断力の集中効果のもとでは、木としてフランジの応力分布は shear lag の影響が著しくなり得ること

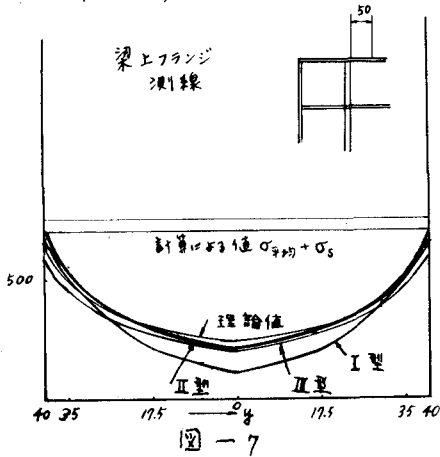


図-7

フランジには直応力とせん断力の二つある。この假定は図-2 のように荷重を受ける場合、梁のフランジ D C および AB、又は柱のフランジ A D に本角は直応力が直線的に減衰し、その差が腹板に剪断応力として伝達するものと考えている。この場合図-3 に示すものでは腹板が剪断応力により降伏する曲げモーメントは

$$M_{k(\sigma)} = \frac{w d_1 d_2 \sigma_2}{2} \left[ 1 - \frac{d_1 + d_2}{2L} \right] \quad (1a)$$

フランジが降伏する曲げモーメント

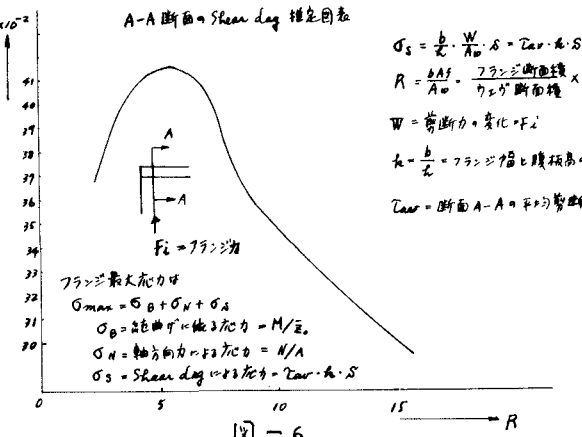


図-6

である。即ち直線形隅角部では図-2 の A 部分又は B 部分で剪断力の符号がかかる。即ち集中荷重下の条件と同じである。このように部分では剪断力による歪の適合のため、單純直曲げ理論による応力を修正せねばならない。この結果図-7 に示すように応力集中が生ずる。この応力集中中の平均応力よりの増加分の計算法は図-6 に示す。図-7 は実測値と理論値を比較したものである。特にこの場合の  $\sigma_2$  に用いた  $F_d$  は前述 Bleich の假定 (C) によって計算したもので、設計の一針に及ぶと信ずる次第である。